

The Synthesis of Polyaniline/Fe₃O₄ to Removal of Lead Ions from Water and Wastewater Samples

A. Shokouhi Rad

Assoc. Prof., Dept. of Chemical Engineering, Qaemshahr Branch,
Islamic Azad University, Qaemshahr, Iran
a.shokouhi@qaemiu.ac.ir

(Received Jan. 17, 2018 Accepted July 28, 2018)

To cite this article:

Shokouhi Rad, A. 2020. "The synthesis of polyaniline/Fe₃O₄ to removal of lead ions from water and wastewater samples" Journal of Water and Wastewater, 31(5), 169-183. Doi: 10.22093/wwj.2020.115726.2601. (In Persian)

Abstract

Due to the importance of removing heavy ions from water samples, in the present study, a magnetic nanocomposite based on Fe₃O₄ particles coated with polyaniline was developed and evaluated as a strong adsorbent to remove lead (II) ions from water and effluent samples. In order to characterize the nanocomposite, the transmission electron microscope was used to determine the exact size of the nanoparticles and the BET technique was used to determine the effective surface of adsorbent and also the CHNS and TGA analyses were used to confirm the coating of Fe₃O₄ magnetic nanoparticles with polyaniline and the survey of the thermal stability of nanocomposite, respectively. The flame atomic absorption spectroscopy was used to determine the values of lead ions in the solution. Characteristics affecting lead ion removal including pH, adsorbent value and contact time at different temperatures were optimized. Optimal values of pH and adsorption rate and contact time for 100 ml of solution with an initial concentration of 50 ppm were obtained in the pH of 9, 3 mg adsorbent, and contact time of 60 minutes, respectively. Equilibrium data from adsorption studies showed that the Langmuir isotherm showed better results than the Freundlich isotherm. Also, the maximum lead adsorption capacity (II) on Polyaniline/Fe₃O₄ nanocomposite was 114.9 mg of lead per gram of adsorbent.

Keywords: Removal of Lead, Polyaniline, Cetyltrimethylammonium Bromide, Nanocomposite, Industrial Wastewater.



مجله آب و فاضلاب، دوره ۳۱، شماره ۵، صفحه: ۱۸۳-۱۶۹

سنتر نانو کامپوزیت Polyaniline/Fe₃O₄ به منظور حذف یون‌های سرب از نمونه‌های آب و پساب

علی شکوهی‌راد

دانشیار گروه مهندسی شیمی، دانشگاه آزاد اسلامی واحد قائم‌شهر، قائم‌شهر، ایران
a.shokuhii@qaemiu.ac.ir

(دریافت ۹۶/۱۰/۲۷ پذیرش ۹۷/۰۵/۰۶)

برای ارجاع به این مقاله به صورت زیر اقدام بفرمایید:
شکوهی‌راد، ع.، ۱۳۹۹، "سنتر نانو کامپوزیت Polyaniline/Fe₃O₄ به منظور حذف یون‌های سرب از نمونه‌های آب و پساب"
Doi: 10.22093/wwj.2020.115726.2601. ۱۶۹-۱۸۳. (۵) (۲۱)، مجله آب و فاضلاب.

چکیده

با توجه به اهمیت حذف یون‌های سنگین از نمونه‌های آبی، در پژوهش حاضر، یک نانوکامپوزیت مغناطیسی بر پایه ذرات Fe₃O₄ پوشش داده شده با پلی‌آنیلین ساخته شد و به عنوان جاذب قوی برای حذف یون‌های سرب (II) از نمونه‌های آب و پساب ارزیابی شد. به منظور مشخصه‌یابی نانوکامپوزیت، از میکروسکوپ الکترونی عبوری برای تعیین دقیق اندازه نانوذرات و از تکنیک BET برای تعیین سطح موثر جاذب و همچنین از آنالیزهای TGA و CHNS به ترتیب برای تأیید پوشش نانوذرات مغناطیسی Fe₃O₄ با پلیمر پلی‌آنیلین و بررسی پایداری حرارتی نانوکامپوزیت اصلاح شده استفاده شد. از دستگاه طیفسنجی جذب اتمی شعله‌ای به منظور تعیین مقدار یون سرب در محلول استفاده شده است. مشخصه‌های تاثیرگذار بر حذف یون سرب از جمله pH، مقدار جاذب و زمان تماس در دماهای مختلف بهینه شدند. مقدار pH و مقدار جاذب و زمان تماس برای ۱۰۰ میلی‌لیتر محلول با غلظت اولیه ۵۰ ppm به ترتیب در محدوده ۳-۴ pH= میلی‌گرم جاذب و زمان تماس ۶۰ دقیقه به دست آمد. داده‌های تعادلی به دست آمده از مطالعات جذب، نشان دادند که ایزوتوurm لانگمیر نتایج بهتری را نسبت به ایزوتوurm فروندلیج از خود نشان داد. همچنین بیشترین ظرفیت جذب سرب (II) روی نانوکامپوزیت Polyaniline/Fe₃O₄ برای با ۱۱۴/۹ میلی‌گرم سرب بر گرم جاذب به دست آمد.

واژه‌های کلیدی: حذف سرب، پلی‌آنیلین، ستیل تری‌متیل آمونیم برمید، نانوکامپوزیت، پساب صنعتی

۱- مقدمه

بسیار سمی به حساب می‌آید که درون محیط‌زیست از میان فعالیت‌های صنعتی و خروجی‌های آب منتشر شده است. همچنین سرب در تولید باتری، صفحات سریبی، لوله‌ها، نقاشی، تجهیزات پزشکی و محصولات الکترونیکی استفاده شده است (Ogunseitan, 2007).

یون‌های سرب حتی در غلظت‌های ۱۵ میکروگرم در لیتر آب آشامیدنی نیز مضر است (Vatani and Eisazadeh, 2013). بنابراین حذف سرب از آب‌های آلوده و پساب‌های آبی برای سلامتی محیط‌زیستی و عمومی مهم است. روش‌های مناسب و



1998) از دیگر مزایای استفاده و ساخت جاذب‌های پلی آنیلینی، هزینه کم، فعالیت الکتروشیمیایی زیاد، پایداری حرارتی زیاد و خواص سازگار با محیط‌زیست است (Gemeay et al., 2018).

به‌طور رایج، پلی آنیلین توسط پلیمریزاسیون اکسیداتیو آنیلین در محیط اسیدی با استفاده از اکسیدانت‌های مختلف از قبیل نمک‌های $\text{Fe}^{3+}\text{S}_2\text{O}_8^{2-}$ ساخته شده است (Sen et al., 2016).

2010) Wang et al., 2016,

همچنین از میان جاذب‌های مختلف، نانوذرات مغناطیسی، به‌خاطر خواص ویژه ساختاری و کاربرد آن در اغلب زمینه‌ها از قبیل جداسازی پروتئین‌ها توجه قابل ملاحظه‌ای را به خود جلب کرده است (Sabatkova et al., 2008, Ma et al., 2006). توانایی حذف یون‌های سنگین فلزی و حتی رنگ‌ها با مشارکت نانوذرات مغناطیسی افزایش می‌یابد که می‌تواند فواید زیادی را روی این نانوکامپوزیت داشته باشد از جمله اینکه، بارهای کمپلکس سطح این نانوذرات در حذف یون‌های سنگین و حتی رنگ‌ها مؤثر است و همچنین خاصیت مغناطیسی آهن در بهبود فرایند حذف یون‌های سنگین و حتی رنگ‌ها و بازیافت نانوکامپوزیت‌ها مؤثر است (Das et al., 2017).

اگرچه پیشرفت‌های قابل توجهی از سنتز نانوذرات مغناطیسی به‌دست آمده است، اما پایدار نگهداشت این ذرات برای مدت زمان طولانی بدون توده‌ای شدن یا رسوب کردن و حفاظت آنها در برابر اکسید شدن با هوا یا خوردگی با اسید یا باز، اهمیت فراوانی دارد. بنابراین یکی از راهبردهای مؤثر، استفاده از روکش‌های پلیمری مانند پلی آنیلین بوده است که با تشکیل پوششی روی هسته ذرات مغناطیسی، از توده‌ای شدن و اکسیداسیون ذرات جلوگیری کرده است. همچنین پلی آنیلین با تشکیل نیروی دافعه الکترواستاتیکی بر روی ذرات، در پایداری ذرات مغناطیسی مؤثر واقع شده است (Long et al., 2005).

در این پژوهش، از نانوذرات مغناطیسی پوشش داده شده با پلی آنیلین به عنوان جاذب مناسب برای حذف یون سرب (II) از محلول آبی استفاده شد. پارامترهای مؤثر در فرایند، از قبیل pH، مقدار جاذب و زمان تماس در دمایهای مختلف به‌منظور تعیین مناسب‌ترین محدوده این متغیرها در حذف یون سرب (II) توسط نانوکامپوزیت مربوطه بررسی شدند. همچنین ایزوترم‌های جذب لانگمیر و فرونندلیچ و معادلات سینتیکی شبه‌مرتبه اول و دوم

دقیق اندازه‌گیری و حذف یون‌های سنگین از جمله کجالت و سرب با مقدار خیلی کم با استفاده از روش‌های ساده و سریع، ارزش زیادی دارد. دستگاه طیف‌سنجدی جذب اتمی شعله‌ای به‌طور گسترده به‌منظور اندازه‌گیری فلزات سنگین به مقدار ناچیز بررسی شد (Mirabi et al., 2017a, Mirabi et al., 2017b, Mirabi et al., 2015a).

کاربرد ساده، قابلیت بازیافت و هزینه کم، از فواید این تکنیک اندازه‌گیری بوده است (Mirabi et al., 2015b). باید در نظر داشت که اندازه‌گیری مستقیم غلظت ناچیز یون‌های سرب (II)، به‌علت آنکه کمتر از حد تشخیص دستگاه طیف‌سنجدی جذب اتمی شعله‌ای هستند، به‌وسیله این روش غیرممکن است، روش‌های متنوعی (2010) به‌منظور حذف مؤثر فلزات سنگین، تکنیک‌های شامل تبادل یونی (Nabi et al., 2011), تکنیک‌های الکتروشیمیایی (Dobrevsky et al., 1997, Cui et al., 2014), اسمزمعکوس (Cui et al., 2014), فیلتراسیون غشایی (Mirabi et al., 2016), زپولیت‌ها (Javanmardi et al., 2018) و جذب سطحی بررسی شد. جذب سطحی در حال حاضر، به عنوان یک روش اقتصادی و انعطاف‌پذیر در طراحی و عملیات برای تصفیه پساب‌های آبی فلزات سنگین شناخته شده است. همچنین چون عملیات جذب سطحی، گاهی اوقات برگشت‌پذیر است، بنابراین جاذب‌ها می‌توانند به‌وسیله فرایندهای حذف مناسب، احیا شوند. همچنین عملیات جذب سطحی به‌منظور حذف اجزا در غلظت‌های کم نیز استفاده شد (Seeder et al., 2011). نانو جاذب‌ها می‌توانند عملکرد و فواید زیادی را فرایندهای حذف و استخراج داشته باشند (Mirabi et al., 2015c).

استفاده از پلیمرها به عنوان جاذب در سال‌های اخیر بسیار مورد توجه قرار گرفته است (Rad et al., 2016b, Rad, 2016, Shokuhi Rad et al., 2016, Rad et al., 2016a, Rad et al., 2015b, Rad et al., 2015c, Rad, 2015, Rad et al., 2015a, Rad and Valipour, 2015).

پلی آنیلین، یکی از پلیمرهای رسانای مناسبی است که به‌علت هزینه کم مونومرها یش، توجه قابل ملاحظه‌ای را در سال‌های اخیر به خود اختصاص داده است (Tayebi et al., 2016). همچنین پلی آنیلین یکی از پلی آروماتیک‌های آمینی است که می‌تواند به آسانی به صورت شیمیایی از محلول‌های آبی اسیدی برونشتد ساخته شود (Huang et al., 1986, Kang et al., 1998, Zeng and Ko,



Fe_2O_3 جلوگیری شود. همچنین با استفاده از همزن مکانیکی در حین واکنش، مخلوط دائماً هم زده می‌شود و همزمان با هم زدن مخلوط در همان شرایط، دمیدن آرگون و دمای ۸۰ درجه سلسیوس و کنترل دمای مخلوط با ترمومتر به مدت ۲ ساعت ادامه یافت. بعد از اتمام واکنش، رسوب سیاه رنگ به دست آمده، توسط مگنت با قدرت مغناطیسی ۱/۴ تسلا از محلول واکنش جداسازی شده و چندین بار با آب مقطر و حلال اتانول شستشو داده شد. در آون با دمای ۷۰ درجه سلسیوس به مدت ۲۴ ساعت قرار گرفت تا خشک شد. بعد آن، عمل آسیاب انجام شد و پودر به دست آمد.

۲-۳- تهیه نانوکامپوزیت پلی آنیلین / Fe_3O_4

برای تهیه پلی آنیلین، ۱ گرم KIO_3 به ۱۰۰ میلی لیتر سولفوریک اسید M افزوده و محلول به مدت ۲۰ دقیقه توسط همزن مغناطیسی یکنواخت شد. سپس ۱ گرم Fe_3O_4 و ۰/۲ گرم ستیل تری متیل آمونیم برمید را به محلول افزوده و به مدت ۲۵ دقیقه هم زده شد. بعد از هم زدن، ۱ میلی لیتر مونومر آنیلین تقطیر شده به محلول یکنواخت شده اضافه شد. واکنش در مدت ۵ ساعت در دمای محیط انجام شده و در نهایت محصول به کمک آهن ربا، محلول رویی آن ریخته شده و محصول چند بار با آب مقطر و استن شستشو داده شده و در دمای ۶۰ درجه سلسیوس به مدت ۲۴ ساعت خشک شد (Tayebi et al., 2016).

شمایتیک فرایند در شکل ۱ نشان داده شده است. همان طور که در شکل مشخص شده است انتظار می‌رود که نانوذرات Fe_3O_4 به وسیله پلی آنیلین پوشش داده شوند.

۴-۲- روش کار حذف یون سرب (II)

ابتدا ۱۰۰ میلی لیتر از نمونه آبی حاوی سرب (II) با غلاظت ۵۰ میلی گرم در لیتر سرب (II) را داخل بشر ریخته و پس از تنظیم pH محلول به ۹، جذب آن توسط دستگاه جذب اتمی شعله‌ای اندازه‌گیری شد. سپس ۳ میلی گرم نانو جاذب اصلاح شده به آن افزوده و در دمای ۲۵ درجه سلسیوس به مدت ۲ دقیقه هم زده و به مدت ۲۰ دقیقه محلول را سانتریفوژ کرده و نهایتاً جذب محلول توسط دستگاه جذب اتمی شعله‌ای گرفته شد. با به دست آوردن جذب ثانویه و اختلاف آن با جذب اولیه، درصد حذف یون سرب

به منظور توصیف داده‌های آزمایشگاهی بررسی شد.

۲- مواد و روش‌ها

۱- مواد و تجهیزات

ستیل تری متیل آمونیم برمید^۱ به عنوان سورفاکtant، هیدروکلریک اسید، سرب (II) نیترات، فروس کلرید، فریک کلرید، استن، پتابسیم یدات، آنیلین تقطیر شده، اسید سولفوریک و سدیم هیدروکسید از شرکت مرک^۲ خریداری و بدون هیچ خالص‌سازی استفاده شد. دستگاه اسپکتروفتومتر جذب اتمی شعله‌ای ساخت شرکت Thermo مدل M5AA system. دستگاه pH متر ساخت Metrohm مدل ۷۷۴ Sartarius TE 15025، میکروسکوپ الکترونی عبوری^۳ مدل Hitachi HF2000 برای تصویربرداری و اندازه‌گیری نانوذرات Fe_3O_4 استفاده شد.

۲- روش تهیه نانو جاذب مغناطیسی Fe_3O_4

نانوذرات اسید آهن از طریق هم رسوی بونهای آهن (II) و آهن (III) با نسبت مولار (۱:۱) سنتز شدند. برای سنتز نانوذرات مغناطیسی، ۲ گرم از $\text{FeCl}_2 \cdot 4\text{H}_2\text{O}$ به همراه $6\text{H}_2\text{O}$ از FeCl_3 را توسط ترازو وزن کرده و مخلوط حاصله به بشر انتقال داده شد و ۰/۸۵ میلی لیتر هیدروکلریک اسید ۱۲ مولار و ۰/۸۵ میلی لیتر آب مقطر نیز به محتویات بشر افزوده و دمای محلول بین ۷۰ تا ۸۰ درجه سلسیوس رسانده شد و محلول به وسیله گاز بی اثر آرگون نیز به مدت ۱۵ تا ۲۰ دقیقه و به منظور حذف اکسیژن، هوازدایی شدند. محلول سدیم هیدروکسید ۱/۵ مولار در حجم ۲۵۰ میلی لیتر، تهیه شده و به وسیله گاز بی اثر آرگون به مدت ۱۵ تا ۲۰ دقیقه، هوازدایی و دمای آن به حدود ۸۰ درجه سلسیوس رسانده شد. سپس محلول سدیم هیدروکسید به صورت تدریجی و در مدت ۱۰ تا ۲۰ دقیقه به بشر حاوی یون‌های آهن (II) و آهن (III) انتقال داده شد. در هنگام افزودن تدریجی محلول سدیم هیدروکسید به صورت قطره قطره به بشر حاوی یون‌های آهن (II) و آهن (III). گاز آرگون نیز دمیده شد تا از اسید شدن یون آهن (II) و تشکیل

¹ Cetyltrimethyl Ammonium Bromide (CTAB)

² Merck

³ Transmission Electron Microscope (TEM)



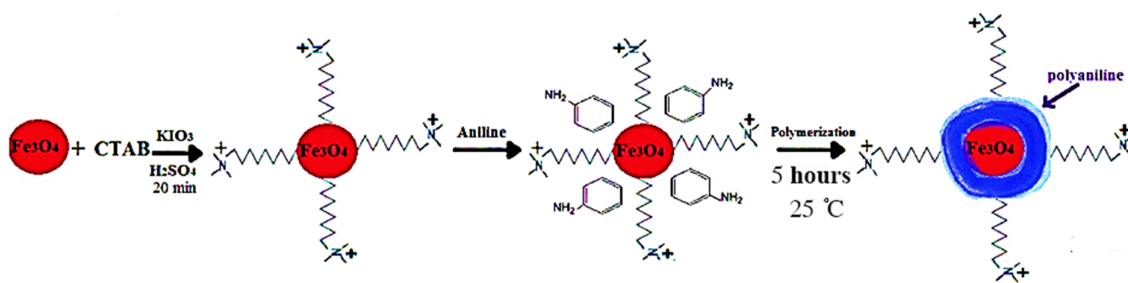


Fig. 1. Scheme of polyaniline connection with Fe_3O_4 nanoparticles
شکل ۱- شماتیک اتصال پلی آنیلین با نانوذرات Fe_3O_4

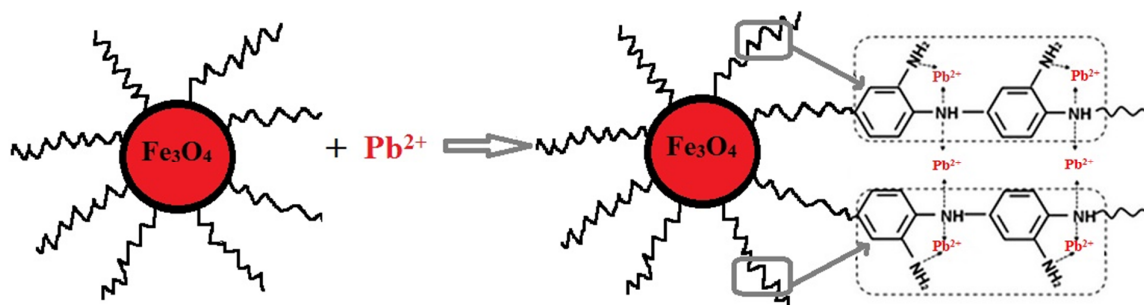


Fig. 2. The interaction mechanism of nanocomposite and lead ions
شکل ۲- مکانیسم برهم‌کنش نانو کامپوزیت و یون‌های سرب

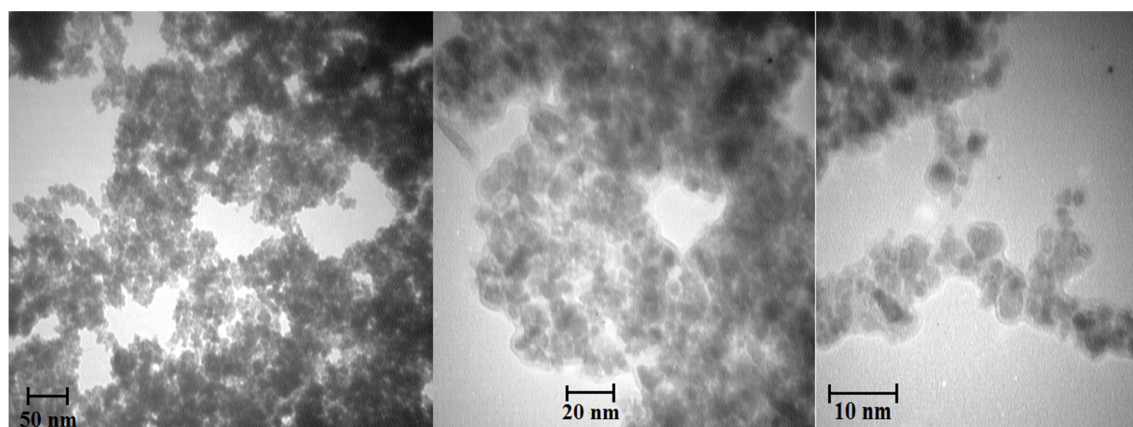
مغناطیسی کروی یا هسته مانند داشته‌اند و ذرات تشکیل شده، به صورت توده‌ای بوده و گویا تمايل به رسوب کردن از خود نشان دادند. آنالیز عنصری CHNS، برای شناسایی انواع عناصر در نانوکامپوزیت سنتز شده به کار برده شد و می‌تواند به منظور تعیین نسبت عناصر در مواد نمونه استفاده شود. مقدار عنصری نانوکامپوزیت، در جدول ۱ گزارش شده است. همان طور که این جدول نشان می‌دهد، با توجه به نتایج حاصله از درصد وزنی هر یک از عناصر و همچنین نسبت کربن به هر یک از عناصر از آنالیز CHNS، حضور کربن، نیتروژن و هیدروژن (حدود ۱۵ درصد وزنی برای کربن، $3/3$ درصد برای کربن و $6/4$ درصد برای هیدروژن) مربوط به نانوذره، ثابتیت Polyaniline روی ذرات Fe_3O_4 را تأیید کرد. آنالیز TGA مربوط به نانوکامپوزیت سنتز شده به منظور نشان

(II) توسط جاذب نانوکامپوزیتی $\text{Polyaniline}/\text{Fe}_3\text{O}_4$ در شرایط مختلف تعیین شد. شکل ۲ شماتیک مکانیسم جذب سطحی یون‌های سرب را روی سطح نانوکامپوزیت نشان می‌دهد. می‌توان پیش‌بینی کرد که واکنش یون‌های سرب با نانو کامپوزیت نتیجه هیبریداسیون بین جفت الکترون غیرپیوندی اتم نیتروژن پلی آنیلین و اربیتال خالی یون‌های سرب است.

۳- نتایج و بحث

۱- ساختارشناسی

به منظور تعیین اندازه حفرات نانوذره، از تکنیک TEM استفاده شد. بر اساس تصویر TEM در شکل ۳، مشاهده شد که ذرات Fe_3O_4 تولید شده در اندازه کمتر از 50 و 50 نانومتر یافت شد که این امر، کارآمد بودن روش تهیه نانوذرات Fe_3O_4 را تأیید کرد. همچنین همان طور که از شکل ۳ مشخص است، ذرات Fe_3O_4 شکل

Fig. 3. The TEM image of Fe_3O_4 particlesشکل ۳ - تصویر TEM مربوط به ذرات Fe_3O_4 جدول ۱- نتایج آنالیز چند عنصری هم زمان CHNS از Fe_3O_4 پوشش داده شده با پلی آنیلینTable 1. Multi-elemental CHNS analysis of Fe_3O_4 particles coated by polyaniline

Reten. time (min)	Response	Weight (g)	Weight (%)	Element name	Carbon response ration
1.359	2175.98	0.010	3.31	Nitrogen	0.2206
2.284	9861.74	0.045	15.00	Carbon	1.000
8.029	4185.17	0.019	6.36	Hydrogen	0.4244
18.107	0.13	0.000	0.00	Sulfur	0.000
Sample weight: 0.300 (g)		0.074	24.67		

در جدول ۲، آنالیز BET^۱ قبل و بعد از نشستن پلی آنیلین روی Fe_3O_4 بررسی شد. به علت ساختار ویژه Fe_3O_4 ، یک گرم از Fe_3O_4 ، مساحت سطحی حدود $186/3$ مترمربع بر گرم قبل از نشستن پلی آنیلین و حدود $159/7$ مترمربع بر گرم بعد از نشستن پلی آنیلین را نشان می‌دهد. دلیل کاهش سطح این است که لایه داخلی سطح نانوذرات، توسط پلیمریزاسیون آنیلین بسته و اشغال شده که این امر، منجر به کاهش سطح مؤثر و گستردگی نانوکامپوزیت به منظور جذب سرب (II) است.

۲-۳- بررسی اثر pH مقدار pH محلول‌های آبی، یکی از فاکتورهای کنترلی مهم در فرایند جذب سطحی است. مقدار pH تحت تأثیر بار سطح جاذب طی فرایند جذب سطحی است. به منظور بررسی تأثیر این پارامتر روی حذف سرب (II) مطابق شکل ۵، اثر pH در محدوده ۲ تا ۱۲

دادن پایداری نانوکامپوزیت و حضور پلی آنیلین در سطح Fe_3O_4 در شکل ۴ نشان داده شده است. به طور تقریبی، ۲۰ میلی‌گرم از نمونه با افزایش دمایی ۲۰ درجه سلسیوس بر دقيقه در جو آرگون گرم شد. کاهش وزن ناچیز در دمای بین ۲۴ تا ۱۶۰ درجه سلسیوس به علت خروج آب در نانوکامپوزیت و کاهش وزن بین ۱۶۰ تا ۴۸۵ درجه سلسیوس به علت خروج سورفتکتانت می‌باشد که نشان می‌دهد که سورفتکتانت ستیل تری متیل آمونیم برمید به خوبی روی نانوجاذب نشسته است.

همچنین پلی آنیلین پایداری گرمایی بسیار زیادی دارد. همان‌طور که در شکل ۴ مشاهده می‌شود در دمای بیشتر از ۵۰۰ درجه سلسیوس تا دمای حدود ۸۰۰ درجه سلسیوس، ذرات پلی آنیلین تخریب نشده و کاهش وزنی خاصی مشاهده نشده که نشان دهنده پایداری حرارتی بسیار زیاد پلی آنیلین است که همین خصوصیت آن، امتیاز بیشتری نسبت به سایر پلیمرها به وجود آورده است.

¹ Brunaure-Emmett-Teller (BET)

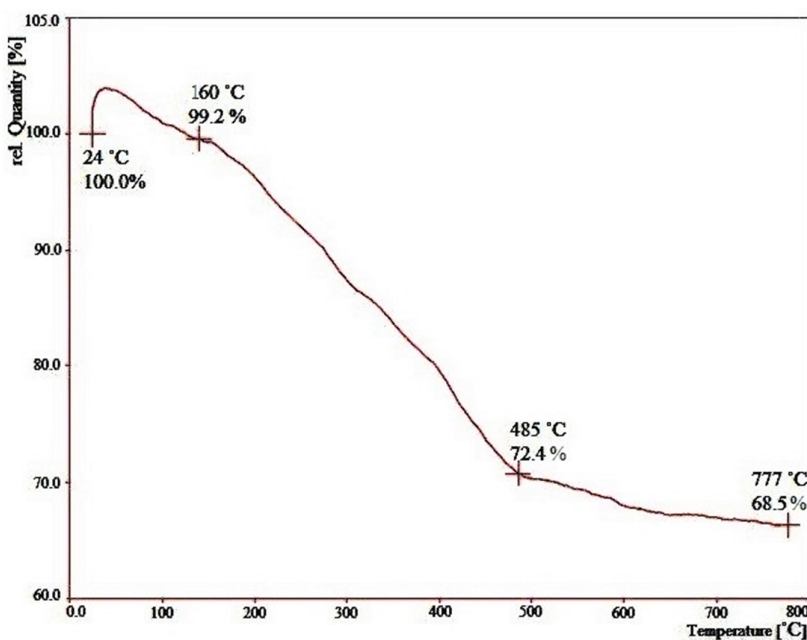


Fig. 4. TGA analysis curve for polyaniline / Fe_3O_4 with increasing temperature of $20^{\circ}\text{C}/\text{min}$

شکل ۴- منحنی آنالیز TGA مربوط به Polyaniline/ Fe_3O_4 با افزایش دمای ۲۰ درجه سلسیوس بر دقیقه

جدول ۲-دادهای مربوط به آنالیز تعیین سطح Fe_3O_4 قبل و بعد از نشستن polyaniline توسط تکنیک BET

Table 2. Analysis data for determination of Fe_3O_4 surface prior to and after being coated with polyaniline by BET technique

Surface area of Fe_3O_4 before covering by polyaniline (m^2/g)	186.3
Surface area of Fe_3O_4 after covering by polyaniline (m^2/g)	159.7

بررسی شد. نتایج نشان داد که در صد حذف سرب (II) با افزایش pH، افزایش یافت. بیشترین مقدار pH، در یک pH تعادلی حدود ۹ اتفاق افتاد. چون در محیط بازی، گروههای آمین پلیمر پلی آنیلین (-NH₂), در حضور OH⁻ آزاد شده در محیط، دپروتونه شده، بنابراین جذب سرب (II) که دارای بار مثبت است افزایش می یابد. در واقع با دپروتونه شدن سطح جذب، تمایل سرب (II) جذب روی سطح، افزایش می یابد.

۳-۳- بررسی اثر میزان جاذب

شکل ۶، اثر مقدار مختلف نانوذرات Fe_3O_4 و نانوکامپوزیت سنتر شده را بر روی جذب فلز سرب نشان می دهد. همان طور که مشاهده می شود برای هر غلظت جاذب در صد حذف یون سرب به وسیله نانوکامپوزیت به مراتب بیشتر از نانوذرات است. بیشترین درصد

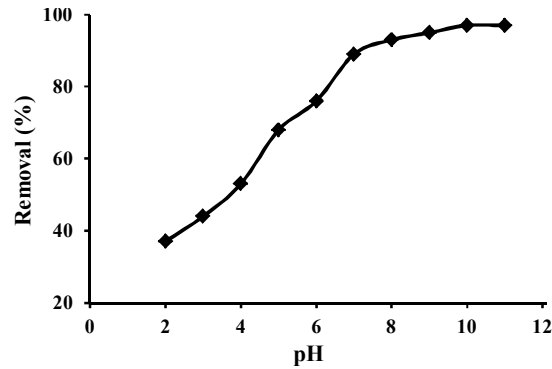


Fig. 5. The effect of PH on the performance of nanocomposite. Removal conditions: water sample volume: 100ml, contact time: 60min., amount of sorbent: 3mg, and initial concentration of lead (II): 50ppm

شکل ۵- تأثیر pH روی عملکرد نانو کامپوزیت در حذف یون های

سرب. شرایط حذف: ۱۰۰ میلی لیتر نمونه آبی زمان تماس ۶۰ دقیقه
مقدار جاذب ۳ گرم و غلظت اولیه یون های سرب ۵۰ ppm



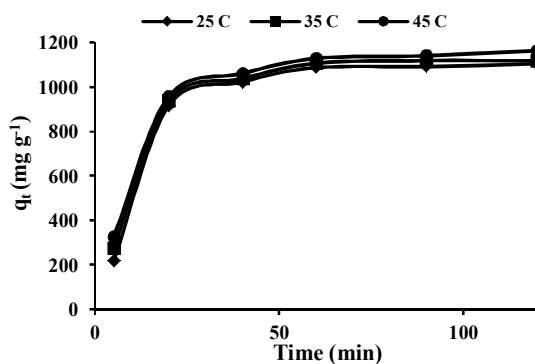


Fig. 7. The effect of contact time on the removal of lead at different temperatures. Removal conditions: aqueous sample volume: 100 ml, pH value: 9, lead concentration: 50 ppm, and amount of polyaniline/Fe₃O₄: 3 mg

شکل ۷- تأثیر زمان تماس روی جذب یون های سرب در دماهای مختلف. شرایط حذف: حجم محلول آبی 100 ml، pH=9، غلظت اولیه یون سرب: 50 ppm و مقدار جاذب ۳ میلی گرم

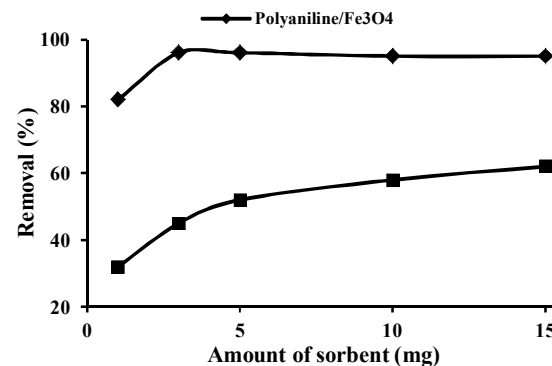


Fig. 6. The effect of Fe₃O₄ and polyaniline/Fe₃O₄ amount on lead removal. Aqueous sample volume: 100 ml, pH value: 9, and the lead initial concentration of 50 ppm

شکل ۶- اثر میزان جاذب نانو ذره Fe₃O₄ و نانو کامپوزیت در حذف یون های سرب. حجم محلول آبی 100 ml، pH=9، غلظت اولیه یون سرب: 50 ppm

با افزایش دما، افزایش می یابد. بنابراین تعدادی از مولکول ها، انرژی کافی به منظور برقرار کردن یک برهم کنش افزایشی با جایگاه فعال در سطح جاذب به دست می آورند. همچنین این یافته ها نشان می دهند که جذب سرب (II) روی Fe₃O₄ (روی Polyaniline/Fe₃O₄) به صورت گرماگیر انجام می شود.

۳-۵- مطالعات جذب

ظرفیت جذب سرب (II) روی نانو کامپوزیت اصلاح شده، در این بخش برای تعیین نوع ایزو ترم جذب، از معادلات جذب لانگلیر و فرون دلیچ استفاده شده است. در تئوری لانگلیر فرض بر این است که جذب ماده جذب شده روی یک سطح همگن به وسیله جذب تک لایه اتفاق می افتد و در این تئوری، انرژی جذب ثابت است (Kumar and Sivanesan, 2006). این تئوری می تواند توسط معادله ۱ بیان شود

$$Ce/q_e = Ce/q_m + 1/K_L q_m \quad (1)$$

که در آن

q_e مقدار یون جذب شده بر حسب میلی گرم بر گرم، C_e مقدار یون سرب موجود در محلول در لحظه تعادل میلی گرم در لیتر، q_m

حذف سرب توسط نانو کامپوزیت در مقدار ۳ میلی گرم است. شکل ۶ نشان می دهد که با افزایش مقدار جاذب تا میزان ۳ میلی گرم، مقدار جذب سرب (II) زیاد می شود. این امر به دلیل افزایش سایت های پذیرنده سرب (II) است. اما با افزایش بیشتر جاذب، همان طور که از شکل مشاهده می شود، جذب افزایش نمی یابد که این به دلیل تجمع ذرات جاذب با یکدیگر است. بنابراین ۳ میلی گرم به عنوان مقدار گرم بهینه نانو جاذب برای آزمایش های بعدی انتخاب شد.

۴-۳- اثر زمان تماس بر حذف یون سرب (II)
برای بررسی تأثیر زمان بر حذف سرب از محدوده ۵ تا ۱۲۰ دقیقه در pH=9، مقدار جاذب ۳ میلی گرم و غلظت ۵۰ ppm برای این منظور استفاده شد. همان طور که در شکل ۷ مشاهده می شود، زمان ۶۰ دقیقه، زمان بهینه ما در محدوده دمایی (۴۵ و ۳۵، ۲۵ درجه) در نظر گرفته شد و در آزمایش های بعدی از آن استفاده شد، کاهش یافت (۲۰ تا ۴۰ دقیقه) ولی حالت بهینه در ۶۰ دقیقه زمان تماس به دست آمد. همچنین از این نمودار مشخص می شود بازده حذف با افزایش دمای محلول، افزایش می یابد چون جنبش همان طور که از شکل ۷ مشخص است، جذب سرب (II) در ابتدا سریع بود (تا زمان ۲۰ دقیقه) و به تدریج فرایند جذب مولکول های سرب

که در آن K_F و $1/n$ از رسم نمودار $\ln q_e$ بر حسب C_e تعیین مقدار شوند که از شیب نمودار، مقدار n و مقدار K_F از عرض از مبدأ نمودار بدست می‌آید (Tayebi et al., 2016). نتایج مربوط به ایزوترم فروندلیچ نیز در جدول ۳ آورده شده است.

شکل ۸ قسمت a و b، به ترتیب نمودار خطی مربوط به معادلات جذب لانگمیر و فروندلیچ به منظور جذب یون سرب (II) روی نانوکامپوزیت $\text{Polyaniline}/\text{Fe}_3\text{O}_4$ است. در شکل ۸ با توجه به ضرایب تعیین بدست آمده از برازش داده‌ها که نتایج آن در جدول ۳، گزارش شده است، نشان می‌دهد که ایزوترم لانگمیر نانوکامپوزیت اصلح شده است، نسبت به ایزوترم فروندلیچ ($R^2=0.9956$)، نتایج بهتری را نسبت به ایزوترم فروندلیچ ($R^2=0.9835$) در تشریح رفتار جذبی سرب (II) بر روی نانوکامپوزیت $\text{Polyaniline}/\text{Fe}_3\text{O}_4$ از خود نشان داد. ظرفیت زیاد نانوکامپوزیت‌های $\text{Polyaniline}/\text{Fe}_3\text{O}_4$ نسبت به جذب سرب (II) احتمالاً به علت تشکیل کمپلکس مناسب بین گروه‌های آمین پلیمر و یون سرب (II) است. همچنین مطابق با فرضیات مدل لانگمیر، می‌توان این طور استنباط کرد که جذب سطحی یون سرب (II) روی نانوکامپوزیت اصلاح شده $\text{Polyaniline}/\text{Fe}_3\text{O}_4$ به صورت تک لایه و به صورت همگن روی سطح پلیمر پلی‌آنیلن انجام شد.

بیشترین مقدار جذب در جاذب بر حسب میلی‌گرم بر گرم و مقدار K_L ثابت لانگمیر بر حسب لیتر بر میلی‌گرم است. با رسم نمودار C_e/q_e بر حسب C_e ، از شیب خط مقدار (q_m) (بیشترین مقدار جذب در جاذب) بر حسب میلی‌گرم بر گرم و از عرض از مبدأ آن، مقدار k_f . ثابت لانگمیر بر حسب لیتر بر میلی‌گرم تعیین شد که نتایج آن در جدول ۳ آمده است.

تئوری فروندلیچ مبتنی بر جذب فیزیکی شیمیایی روی سطح ناهمگن در سایتهاي با انرژي جذب مختلف و همچنین با سایتهاي جذب غيریکسانی که همواره در دسترس نیستند انجام می‌شود (El Qada et al., 2006). معادله فروندلیچ به صورت زیر بیان می‌شود

$$q_e = k_f C_e^{1/n} \quad (2)$$

که در آن K_F ثابت فروندلیچ که وابسته به ظرفیت جذب و n فاکتور غیرهمگن پذیری که وابسته به شدت جذب است. فرم معادله خطی ایزوترم جذب فروندلیچ به صورت زیر است

$$\ln(q_e) = \ln(k_f) + (1/n) \ln(C_e) \quad (3)$$

جدول ۳ - ضرایب بدست آمده از ایزوترم جذب فروندلیچ و لانگمیر به منظور جذب سرب (II) بر روی نانوکامپوزیت $\text{Polyaniline}/\text{Fe}_3\text{O}_4$

Table 3. Coefficients of Freundlich and Langmuir adsorption isotherms for adsorption of lead (II) on polyaniline / Fe_3O_4 nanocomposite

Langmuir	Freundlich
$q_m=114.9 \text{ mg/g}$, $K_L=6.71 \text{ l/mg}$, $R^2=0.9956$	$n=2.17$ (dimensionless), $K_f=22.3 \text{ l/mg}$, $R^2=0.9835$

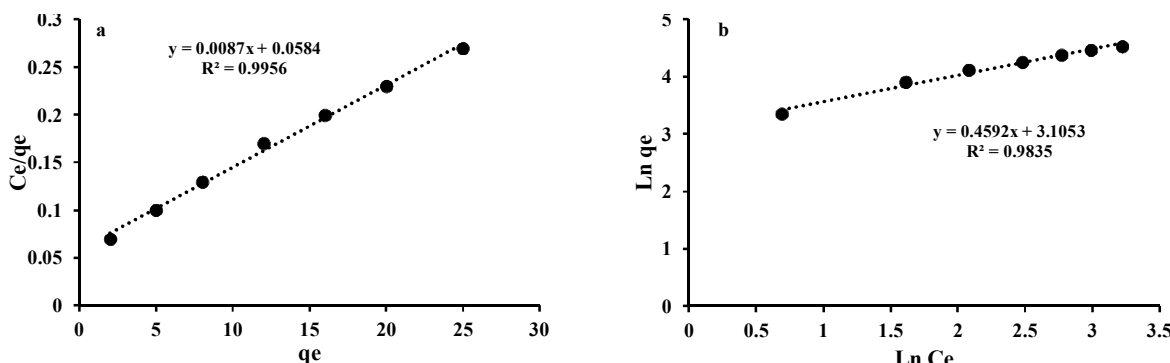


Fig. 8. Linear graph of Langmuir (a) and Freundlich (b) model for lead (II) adsorption on nanocomposite
شکل ۸-برازش خطی مدل‌های لانگمیر (a) و فروندلیچ (b) در جذب یون‌های سرب روی نانوکامپوزیت

شکل ۹ و جدول ۵ نشان می‌دهد که معادله شبهمرتبه دوم به دلیل بیشتر بودن ضریب همبستگی و در نتیجه برآش مناسب‌تر داده‌ها نسبت به معادله شبهمرتبه اول، برای جذب سرب بر روی نانوکامپوزیت $\text{Polyaniline}/\text{Fe}_3\text{O}_4$ مطلوب‌تر است. همچنین نتایج حاصل از ظرفیت جذب (q_e) به دست آمده نشان‌دهنده تطابق مناسب معادله سینتیک شبهمرتبه دوم در توصیف داده‌های آزمایشگاهی مربوط به جذب یون سرب (II) توسط جاذب نانوکامپوزیت $\text{Polyaniline}/\text{Fe}_3\text{O}_4$ است. معمولاً این‌طور استنباط می‌شود که سینتیک شبهمرتبه دوم، بهترین برآش را نسبت به داده‌های آزمایشگاهی در سیستم‌های جذبی که در آن جذب شیمیایی در مرحله کنترلی شدت جذب، معنی‌دار به نظر می‌رسد فراهم می‌آورد (Zheng and Wang, 2010). بنابراین جذب شیمیایی می‌تواند، مرحله تعیین کننده شدت جذب برای جاذب نانوکامپوزیت $\text{Polyaniline}/\text{Fe}_3\text{O}_4$ باشد.

۳-۶- مطالعات سینتیک جذب

برای بررسی رفتار سینتیکی، از معادلات شبهمرتبه اول و شبهمرتبه دوم استفاده شده است که در جدول ۴، فرم معادله خطی و غیرخطی آن آورده شده است. مطابق با این جدول، K_1 و K_2 ثابت شد جذب بر حسب لیتر در ثانیه به ترتیب برای مدل سینتیکی شبهمرتبه اول و شبهمرتبه دوم و q_{e0} مقادار یون جذب شده روی $\text{Polyaniline}/\text{Fe}_3\text{O}_4$ به ترتیب در تعادل و در زمان t بر حسب t میلی‌گرم بر گرم هستند. در شکل ۹ نمودار $a - q_e - q_t$ بر حسب مطابق با مدل سینتیک شبهمرتبه اول است که مقدار ثابت K_1 از به دست آمدن شیب نمودار و q_{e0} از عرض از مبدأ نمودار به دست می‌آیند. همچنین مدل سینتیک شبهمرتبه دوم نیز از نمودار $t/q_t = 1/K_2 q_e^2 + (1/q_e)t$ بر حسب t به دست می‌آید که مقدار K_2 از به دست آمدن عرض از مبدأ نمودار و q_{e0} از شیب نمودار به دست می‌آیند. نتایج به دست آمده از تجزیه و تحلیل سینتیکی و نمودارهای

جدول ۴- معادلات سینتیک جذب شبهمرتبه اول و دوم

Table 4. Pseudo-first and second-order kinetics equations of adsorption

Linear form	Nonlinear form	Kinetic equation
$\text{Log}(q_e - q_t) = \text{log} q_{e0} - (K_1/2.303) t$	$dq_t/dt = k_1(q_e - q_t)$	Pseudo-first-order $t/q_t = 1/K_2 q_e^2 + (1/q_e)t$
$dq_t/dt = k_2(q_e - q_t)^2$	Pseudo-second-order	

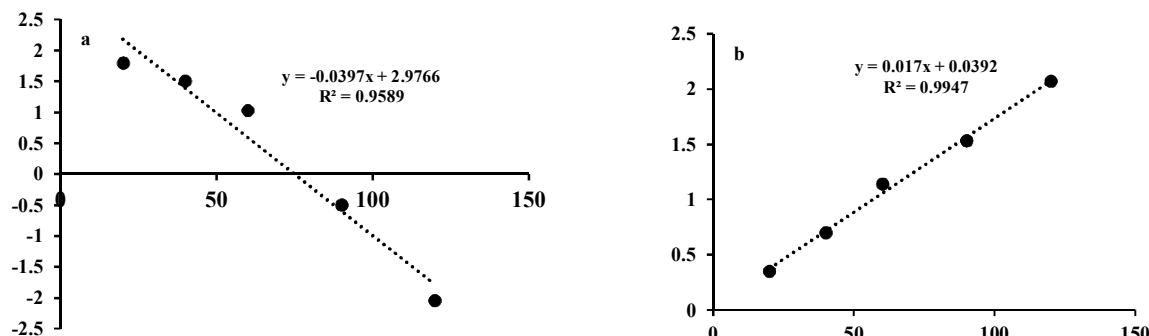


Fig. 9. Linear graph of (a) pseudo-first-order kinetics (b) pseudo-second-order kinetics equations

شکل ۹- برآش خطی معادلات سینتیکی شبهمرتبه اول (a) و شبهمرتبه دوم (b)

جدول ۵- ضرایب معادلات سینتیک جذب شبهمرتبه اول و دوم

Table 5. Coefficients of pseudo first and second order kinetic equations of adsorption

Pseudo-first-order			Pseudo-second-order		
K_1	q_{e0}	R^2	K_2	q_{e0}	R^2
0.0397	13.23	0.9589	0.0074	18.86	0.9947

۳-۷- حذف سرب (II) از نمونه‌های آبی صنعتی

شده، می‌تواند یون سرب را، حتی در غلظت‌های کم نیز حذف کند، در صورتی که بیشتر جاذب‌ها نمی‌توانند در این شرایط کارآمدی خود را حفظ کنند.

بیشترین ظرفیت جذب $\text{Polyaniline}/\text{Fe}_3\text{O}_4$ ، توسط مدل لانگمیر تعیین شد که مقدار آن $114/9$ میلی‌گرم بر گرم به دست آمد و با سایر گزارش‌های قبلی که در حذف یون سرب (II) مورد بررسی قرار گرفت، مقایسه شد.

همان‌طور که از جدول ۷ مشاهده می‌شود، جاذب $\text{Polyaniline}/\text{Fe}_3\text{O}_4$ دارای ظرفیت جذب بیشتری نسبت به سایر جاذب‌های مورد استفاده در حذف یون سرب (II) است که می‌تواند به عنلت فراهم نمودن ناحیه سطح زیاد آن در جذب یون‌های سرب باشد. همچنین ظرفیت جذب $\text{Polyaniline}/\text{Fe}_3\text{O}_4$ خیلی رقابتی به نظر می‌رسد. بنابراین این جاذب، می‌تواند گزینه مناسبی در حذف سرب (II) باشد.

به‌منظور کاربرد حذف یون‌های سرب (II) از نمونه‌های حقیقی، از نمونه‌های آبی صنعتی بیمارستان بوعلی سینا ساری، شهرک صنعتی شماره یک ساری، رودخانه تجن ساری و شرکت توزیع برق نیروگاه نکا استفاده و بررسی شد. به بعضی از محلول‌های نمونه، ۴۰ میلی‌گرم در لیتر افزوده و به بعضی از محلول‌ها اضافه نشد. تمامی نمونه‌ها ابتدا از غشای میکرو عبور داده شدند تا گونه‌های معلق موجود در محلول فیلتر شوند. به‌منظور بررسی اثر ماتریکس، غلظت اولیه و غلظت باقیمانده سرب (II) در محلول (قبل از حذف و بعد از حذف توسط جاذب مورد نظر) توسط روش افزایش استاندارد تعیین شد. نتایج در جدول ۶ آورده شده است. همان‌طور که از نتایج مشخص است، در غلظت‌های بیشتر سرب (II)، روش پیشنهاد شده می‌تواند به طور موافقی آمیزی به‌منظور حذف یون‌های سرب (II) در نمونه‌های واقعی با درصد حذف زیادی به کار رود. اما نکته قابل توجه این است که جاذب کامپوزیتی پیشنهاد

جدول ۶- حذف یون سرب (II) از نمونه‌های آبی صنعتی

Table 6. Removal of lead (II) ion from industrial aqueous samples

Sample	Added value (standard) (mg/L)	Initial concentration removal % (mg/L)	Final concentration (mg/L)
Boalisina Sari Hospital	90(± 2.1) ¹	0.02	0.002
	40	0.337	0.009
	97(± 1.4)		
Sari Industrial City No. 1	93(± 2.3)	0.015	0.001
	40	0.322	0.015
	95(± 2.1)		
Tajan River Sari	66(± 2.6)	0.03	0.01
	40	0.3	0.02
	93(± 1.1)		
Neka Power Plant Distribution Company	60(± 2.7)	0.05	0.02
	40	0.303	0.058
	80(± 1.6)		

¹Relative standard deviation was obtained by measuring at three points



جدول ۷- مقایسه ظرفیت جذب جاذب‌های مختلف نسبت به حذف سرب (II)

Table 7. Comparison of adsorption capacity of different adsorbents for Pb (II) removal

Adsorbent	q _m (mg/g)	Refs.
Palygorskite-iron oxide nanocomposite	26.7	(Rusmin et al., 2017)
Polythiophene-Coated Rice Husk Ash nanocomposite	34.48	(Arabahmadi and Ghorbani, 2017)
Amino-functionalized magnetic nanoadsorbent	40.10	(Tan et al., 2012)
Silica/Alginat	83.33	(Soltani et al., 2014)
Poly(acrylic acid)/bentonite nanocomposite	93.01	(Rafiei et al., 2016)
Sulfonated magnetic nano particle	108.93	(Chen et al., 2017)
Polyaniline/Fe ₃ O ₄	114.9	This study

آنالیزهای CHNS و TGA، به ترتیب تأیید حضور پلی آنیلین روی ذرات Fe₃O₄ و پایداری حرارتی نانوکامپوزیت اصلاح شده مربوطه، مشخص شد. ایزوترم‌های جذب لانگمیر و فروندلیچ برای بررسی مقدار جذب بیان شدند. نتایج نشان دادند که ایزوترم لانگمیر، دارای ضریب هم‌بستگی زیادی بوده و نتایج بهتری را نسبت به ایزوترم فروندلیچ در توصیف داده‌های آزمایشگاهی از خود نشان داد. بیشترین ظرفیت جذب برابر با ۱۱۴/۹ میلی‌گرم سرب بر گرم جاذب به دست آمد. سینتیک جذب یون‌های سرب (II) نیز بررسی شد و سینتیک جذب از مدل سینتیکی شبه‌مرتبه دوم پیروی کرد.

۵- قدردانی
نویسنده از حمایت مالی دانشگاه آزاد اسلامی واحد قائم شهر تشکر و قدردانی می‌کند.

۴- نتیجه‌گیری

در این پژوهش، جاذب نانوکامپوزیت اصلاح شده Polyaniline/Fe₃O₄ با استفاده از یک روش مناسب و سریع به نام جذب سطحی آماده شدند. نانوکامپوزیت اصلاح شده Polyaniline/Fe₃O₄، به عنوان یکی از جاذب‌های جدید و پرکاربرد به منظور حذف یون سرب (II) از محلول‌های آبی به حساب می‌آید. مشخصه‌های تأثیرگذار در حذف یون سرب (II) نظیر pH، زمان تماس و مقدار جاذب بهینه شدند. pH بهینه در 9 به دست آمد. همچنین مقدار بهینه جاذب و زمان تماس به ترتیب در ۳ میلی‌گرم و ۶۰ دقیقه به دست آمد. آنالیزهای BET، TEM و CHNS در این پژوهش بررسی شدند. آنالیز TEM کارآمد بودن روش تهیه نانوذرات را تأیید کرد. با استفاده از آنالیز BET نیز مساحت سطحی حدود ۱۵۹/۷ متر مربع بر گرم از Fe₃O₄ بعد از پوشش با پلی آنیلین به دست آمد. همچنین با استفاده از

References

- Arabahmadi, V. & Ghorbani, M. 2017. Pb (II) removal from water using surface-modified polythiophene-coated rice husk ash nanocomposite. *Inorganic and Nano-Metal Chemistry*, 47(12), 1614-1624.
- Chen, K., He, J., Li, Y., Cai, X., Zhang, K., Liu, T., et al. 2017. Removal of cadmium and lead ions from water by sulfonated magnetic nanoparticle adsorbents. *Journal of Colloid and Interface Science*, 494, 307-316.
- Citak, D. & Tuzen, M. 2010. A novel preconcentration procedure using cloud point extraction for determination of lead, cobalt and copper in water and food samples using flame atomic absorption spectrometry. *Food and Chemical Toxicology*, 48, 1399-1404.
- Cui, Y., Ge, Q., Liu, X. Y. & Chung, T. S. 2014. Novel forward osmosis process to effectively remove heavy metal ions. *Journal of Membrane Science*, 467, 188-194.
- Das, R., Bhaumik, M., Giri, S. & Maity, A. 2017. Sonocatalytic rapid degradation of Congo red dye from aqueous solution using magnetic Fe₃O₄/polyaniline nanofibers. *Ultrasonics Sonochemistry*, 37, 600-613.
- Dobrevsky, I., Dimova-Todorova, M. & Panayotova, T. 1997. Electroplating rinse waste water treatment by ion exchange. *Desalination*, 108(1-3), 277-280.



- El Qada, E. N., Allen, S. J. & Walker, G. M. 2006. Adsorption of methylene blue onto activated carbon produced from steam activated bituminous coal: a study of equilibrium adsorption isotherm. *Chemical Engineering Journal*, 124, 103-110.
- Foroutan, R., Esmaeili, H., Abbasi, M., Rezakazemi, M. & Mesbah, M. 2018. Adsorption behavior of Cu (II) and Co (II) using chemically modified marine algae. *Environmental Technology*, 39(21), 2792-2800.
- Gemeay, A. H., Elsharkawy, R. G. & Aboelfetoh, E. F. 2018. Graphene oxide/polyaniline/manganese oxide ternary nanocomposites, facile synthesis, characterization, and application for indigo carmine removal. *Journal of Polymers and the Environment*, 26, 655-669.
- Huang, W. S., Humphrey, B. D. & Macdiarmid, A. G. 1986. Polyaniline, a novel conducting polymer. Morphology and chemistry of its oxidation and reduction in aqueous electrolytes. *Journal of the Chemical Society, Faraday Transactions 1: Physical Chemistry in Condensed Phases*, 82(8), 2385-2400.
- Javanmardi, P., Takdastan, A. & Jalilzadeh, Y. R. 2018. Study the efficiency of clinoptilolite zeolite for lead removal from aqueous solutions and determining adsorption kinetics and isotherms. *Journal of Water and Wastewater*, 29(1), 108-114. (In Persian)
- Kang, E., Neoh, K. & Tan, K. 1998. Polyaniline: a polymer with many interesting intrinsic redox states. *Progress in Polymer Science*, 23(2), 277-324.
- Kumar, K. V. & Sivanesan, S. 2006. Isotherm parameters for basic dyes onto activated carbon: Comparison of linear and non-linear method. *Journal of Hazardous Materials*, 129, 147-150.
- Long, Y., Chen, Z., Duvail, J. L., Zhang, Z. & Wan, M. 2005. Electrical and magnetic properties of polyaniline/ Fe_3O_4 nanostructures. *Physica B: Condensed Matter*, 370(1-4), 121-130.
- Ma, Z., Guan, Y. & Liu, H. 2006. Superparamagnetic silica nanoparticles with immobilized metal affinity ligands for protein adsorption. *Journal of Magnetism and Magnetic Materials*, 301, 469-477.
- Mirabi, A., Dalirandeh, Z. & Rad, A. S. 2015a. Preparation of modified magnetic nanoparticles as a sorbent for the preconcentration and determination of cadmium ions in food and environmental water samples prior to flame atomic absorption spectrometry. *Journal of Magnetism and Magnetic Materials*, 381, 138-144.
- Mirabi, A., Rad, A. S. & Abdollahi, M. 2017a. Preparation of modified MWCNT with dithiooxamide for preconcentration and determination of trace amounts of cobalt ions in food and natural water samples. *Chemistry Select*, 2(16), 4439-4444.
- Mirabi, A., Rad, A. S., Divsalar, F. & Karimi-Maleh, H. 2018. Application of SBA-15/diphenyl carbazon/SDS nanocomposite as solid-phase extractor for simultaneous determination of Cu (II) and Zn (II) ions. *Arabian Journal for Science and Engineering*, 43, 3547-3556.
- Mirabi, A., Rad, A. S., Jamali, M. R. & Danesh, N. 2016. Use of modified γ -alumina nanoparticles for the extraction and preconcentration of trace amounts of cadmium ions. *Australian Journal of Chemistry*, 69, 314-318.
- Mirabi, A., Rad, A. S., Khanjari, Z. & Moradian, M. 2017b. Preparation of SBA-15/graphene oxide nanocomposites for preconcentration and determination of trace amounts of rutoside in blood plasma and urine. *Sensors and Actuators B: Chemical*, 253, 533-541.
- Mirabi, A., Rad, A. S. & Khodadad, H. 2015b. Modified surface based on magnetic nanocomposite of dithiooxamide/ Fe_3O_4 as a sorbent for preconcentration and determination of trace amounts of copper. *Journal of Magnetism and Magnetic Materials*, 389, 130-135.



- Mirabi, A., Rad, A. S. & Nourani, S. 2015c. Application of modified magnetic nanoparticles as a sorbent for preconcentration and determination of nickel ions in food and environmental water samples. *TrAC Trends in Analytical Chemistry*, 74, 146-151.
- Nabi, S. A., Shahadat, M., Shallal, A. H. & Khan, A. M. 2011. Removal of heavy metals from synthetic mixture as well as pharmaceutical sample via cation exchange resin modified with rhodamine B: its thermodynamic and kinetic studies. *Clean–Soil, Air, Water*, 39, 1120-1128.
- Ogunseitan, O. A. 2007. Public health and environmental benefits of adopting lead-free solders. *Journal of the Minerals, Metals and Materials Society*, 59(7), 12-17.
- Rad, A. S. 2015. Application of polythiophene to methanol vapor detection: an ab initio study. *Journal of Molecular Modeling*, 21, 285.
- Rad, A. S. 2016. Terthiophene as a model sensor for some atmospheric gases: theoretical study. *Molecular Physics*, 114(5), 584-591.
- Rad, A. S., Esfahanian, M., Ganjian, E. & Tayebi, H. A. 2016a. Ab-initio study of physisorption of hydrogen cyanide on 2PANI: a model for polyaniline gas sensor. *Zeitschrift für Physikalische Chemie*, 230 (10), 1487-1498.
- Rad, A. S., Esfahanian, M., Ganjian, E., Tayebi, H. A. & Novir, S. B. 2016b. The polythiophene molecular segment as a sensor model for H_2O , HCN , NH_3 , SO_3 , and H_2S : a density functional theory study. *Journal of Molecular Modeling*, 22, 127.
- Rad, A. S., Nasimi, N., Jafari, M., Shabestari, D. S. & Gerami, E. 2015a. Ab-initio study of interaction of some atmospheric gases (SO_2), NH_3 , H_2O , CO , CH_4 and CO_2) with polypyrrole (3PPy) gas sensor: DFT calculations. *Sensors and Actuators B: Chemical*, 220, 641-651.
- Rad, A. S. & Valipour, P. 2015. Interaction of methanol with some aniline and pyrrole derivatives: DFT calculations. *Synthetic Metals*, 209, 502-511.
- Rad, A. S., Valipour, P., Gholizade, A. & Mousavinezhad, S. E. 2015b. Interaction of SO_2 and SO_3 on terthiophene (as a model of polythiophene gas sensor): DFT calculations. *Chemical Physics Letters*, 639, 29-35.
- Rad, A. S., Zardoost, M. R. & Abedini, E. 2015c. First-principles study of terpyrrole as a potential hydrogen cyanide sensor: DFT calculations. *Journal of Molecular Modeling*, 21, 273.
- Rafiee, H., Shirvani, M. & Ogunseitan, O. 2016. Removal of lead from aqueous solutions by a poly (acrylic acid)/bentonite nanocomposite. *Applied Water Science*, 6(4), 331-338.
- Rusmin, R., Sarkar, B., Tsuzuki, T., Kawashima, N. & Naidu, R. 2017. Removal of lead from aqueous solution using superparamagnetic palygorskite nanocomposite: Material characterization and regeneration studies. *Chemosphere*, 186, 1006-1015.
- Sabatkova, Z., Safarikova, M. & Safarik, I. 2008. Magnetic ovalbumin and egg white aggregates as affinity adsorbents for lectins separation. *Biochemical Engineering Journal*, 40, 542-545.
- Seeder, J., Henley, E. & Roper, D. 2011. Separation process principles . Hoboken. NJ, USA: Wiley.
- Sen, T., Mishra, S. & Shimpi, N. G. 2016. Synthesis and sensing applications of polyaniline nanocomposites: a review. *RSC Advances*, 6 (48), 42196-42222.



- Shokuhi Rad, A., Ghasemi Ateni, S., Tayebi, H. A., Valipour, P. & Pouralijan Foukolaei, V. 2016. First-principles DFT study of SO_2 and SO_3 adsorption on 2PANI: a model for polyaniline response. *Journal of Sulfur Chemistry*, 37, 622-631.
- Soltani, R. D. C., Khorramabadi, G. S., Khataee, A. & Jorfi, S. 2014. Silica nanopowders/alginate composite for adsorption of lead (II) ions in aqueous solutions. *Journal of the Taiwan Institute of Chemical Engineers*, 45, 973-980.
- Tan, Y., Chen, M. & Hao, Y. 2012. High efficient removal of Pb (II) by amino-functionalized Fe_3O_4 magnetic nano-particles. *Chemical Engineering Journal*, 191, 104-111.
- Tayebi, H.-A., Dalirandeh, Z., Shokuhi Rad, A., Mirabi, A. & Binaeian, E. 2016. Synthesis of polyaniline/ Fe_3O_4 magnetic nanoparticles for removal of reactive red 198 from textile waste water: kinetic, isotherm, and thermodynamic studies. *Desalination and Water Treatment*, 57(47), 22551-22563.
- Vatani, Z. & Eisazadeh, H. 2013. Application of polythiophene nanocomposite coated on polystyrene and poly (vinyl chloride) for removal of Pb (II) from aqueous solution. *Polymer-Plastics Technology and Engineering*, 52(15), 1621-1625.
- Wang, H., Hao, Q., Yang, X., Lu, L. & Wang, X. 2010. Effect of graphene oxide on the properties of its composite with polyaniline. *ACS Applied Materials and Interfaces*, 2, 821-828.
- Zeng, X. R. & Ko, T. M. 1998. Structures and properties of chemically reduced polyanilines. *Polymer*, 39(5), 1187-1195.
- Zheng, Y. & Wang, A. 2010. Removal of heavy metals using polyvinyl alcohol semi-IPN poly (acrylic acid)/tourmaline composite optimized with response surface methodology. *Chemical Engineering Journal*, 162, 186-193.

